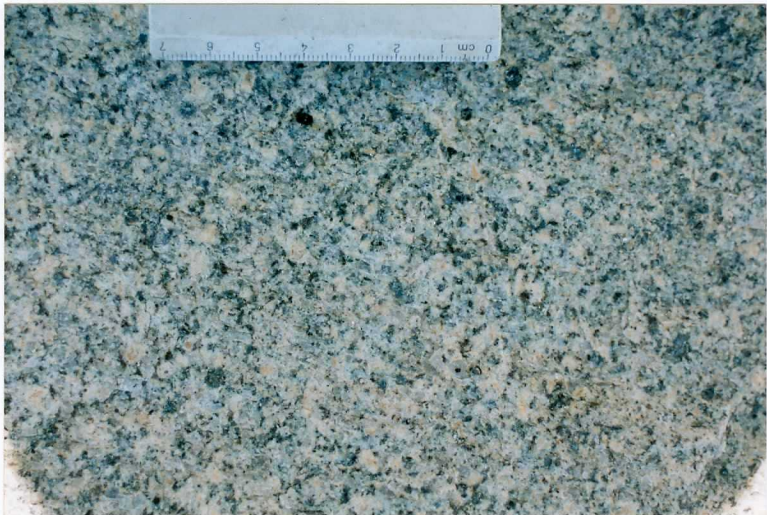




13-29-AD-AD-1. Aspecto macroscópico de la facies externa del Plutón de Zorita (granodiorita-monzogranito).



13-29-AD-AD-2. Aspecto macroscópico de la facies interna del Plutón de Zorita (monzogranito).



13-29-AD-LE-500. Formación Madrigalejo. Canal de las Dehesas. Km 68. Obsérvese la red de canales braided con relleno de grava y arena. Cuerpos con continuidad lateral de decenas de metros.



13-29-FM-20. Conglomerado ("mud supported") de cuarzo, grauvaca y lidita en la estructura sinclinal del borde norte de la Hoja de Zorita. Cortijo de Villaviciosa.



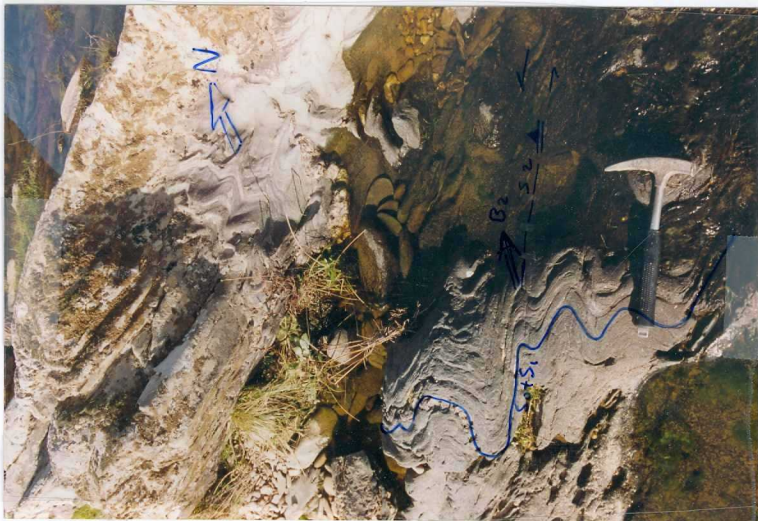
13-29-FM-21. Costras ferruginosas, hacia la base un depósito de glacia. 1 Km al Sur de la Dehesa del Cañeral.



13-29-FM-22. Plegamiento por "buckling" en las capas grauváquicas más finas, producidos por la segunda fase. SO  $140^{\circ}$ - $68^{\circ}$  NE, B<sub>2</sub>  $50^{\circ}$ - $68^{\circ}$  NE. Techo sedimentario hacia la parte alta de la foto. Río Pizarroso al Oeste de Zorita.



13-29-FM-23. Vista en planta de pliegues métricos de la 2ª fase con  $S_2$  como plano axial.  $N40^\circ-80^\circ NO$ . Río Pizarroso.



13-29-FM-24. Pliegues que han podido evolucionar desde un aplastamiento (cizallamiento puro) hacia un incipiente cizallamiento senextro simple en dominios, durante la segunda fase ( $B_2$   $N10^\circ E$   $45^\circ N$ ,  $S_2$   $N30^\circ E$   $55^\circ NO$ ). Río Pizarroso.



13-29-FM-25. Vetas de cuarzo subparalelas a  $S_0 + S_1$  ( $N160^\circ E-90^\circ$ ). Aparentemente se podría indicar un cizallamiento senestro, pero este no se desarrolla a través de  $S_0$ . También podrían haber evolucionado como grietas tensionales durante la 2ª fase en los flancos con orientación NE. Río Pizarroso.



13-29-FM-26. Pliegues de 2ª fase con posibles transposiciones o al menos bandas con un mayor desarrollo de  $S_2$  (Norte a la derecha de la foto). Río Pizarroso.



13-29-FM-27. Arcillas y limos de Madrigalejo. En el Km 1 del canal que baja desde el canal de las Dehesas a Madrigalejo.



13-29-FM-28. Arcillas y limos de Madrigalejo. Las capas buzan 4° al NO. En el Km 68 del Canal de las Dehesas.



13-29-FM-29. Idem anterior.



13-29-FM-30. Limos y arcillas de la Formación Madrigalejo. Tramos más altos situados bajo la discordancia que da paso a los sedimentos del Neógeno (fuera de la foto). Barranca de Santiago en la orilla izquierda del río Rucas.



13-29-FM-31. Esquistosidad de 2ª fase oblicua a los planos  $S_0$  y a los de  $S_1$  crenulada. 1,2 Km al NO del cruce de las carreteras: Comarcal 401 y local de Abertura a Campo Lugar.



13-29-FM-32. En la misma localidad de la foto anterior se aprecian bandas en las que predominan la  $S_2$  y bandas en las que puede apreciarse claramente la  $S_1$ . Ambas oblicuas a  $S_0$ .



13-29-FM-33. Pliegues prehercínicos de origen incierto, suavemente plegados con la esquistosidad  $S_1$  oblicua. 0,5 Km al Oeste de la Casa de la Rinconada.



13-29-FM-35. Mesopliegues asimétricos de 2ª fase, doblando  $S_0$  y  $S_1$ . En la misma localidad de la foto anterior.



13-29-FM-37. Mesoplegue de 2ª fase con un flanco corto ortogonal a la  $S_2$  y un flanco largo (parte inferior de la foto) que se orienta y estira paralelamente a  $S_2$ . Sierra Brava.



13-29-FM-38. Detalle de la foto anterior con  $S_0$  y  $S_1$  subparalelas al martillo y  $S_2$  perpendicular a las anteriores aunque con refracciones.



13-29-FM-39. Anticlinal de 1ª fase hercínica con  $S_1$  de plano axial y débil vergencia al E (izquierda de la foto). Dehesa de las Villalbas.



13-29-FM-40. Pliegue de 1ª fase con fuerte inmersión (50° al SSE). Dehesa de Cabezagorda.



13-29-FM-41. Mesoplicues de 2ª fase sobre  $S_0$  y  $S_1$  aproximadamente subparalelas, y  $S_2$  según el mango del martillo. Dehesa del Agujón.



13-29-FM-42. Pliegues  $B_2$  sobre  $S_0$  y  $S_1$  con  $S_2$  crenulando a  $S_1$ . En la misma localidad de la foto anterior.



pocos centímetros desplazando a E, y a otra veta de cuarcita anterior que también  
presenta microquartzita por la 2ª vez, en la espilitización b, asociada con desarrollo

13-29-FM-43. Detalle de la foto anterior.



13-29-FM-44. Zona de falla, frágil-dúctil (N50°E) con cuarzo estirado formando "boudines". Ayo. Pizarroso en el límite Norte de la Hoja.



- 13-29-FM-45. Microfalla perteneciente a la familia de fallas  $N50^{\circ}$  a  $60^{\circ}E$ , de carácter frágil-dúctil, coetáneas con la 3ª fase hercínica. Presenta un desplazamiento dextral de unos pocos centímetros desplazando a  $S_0$  y a otra veta de cuarzo anterior que también aparece microplegada por la 2ª fase, en la esquistosidad  $S_2$  aparece con desarrollo incipiente y en dirección subparalela a la microfalla. Vista en planta en la misma localidad de la foto anterior.



13-29-FM-46. Vista en planta. Cuarzo "arrosariado" por estiramiento en un plano de falla frágil-dúctil (N55°E). Puede apreciarse un desplazamiento dextral de unos 20 sobre  $S_0$  y un desarrollo incipiente de  $S_2$ , subparalela a la falla.